

固态单自旋量子精密测量实验

廖荣

中国科学技术大学 微尺度物质科学国家研究中心 物理学院, 合肥 230026
合肥国家实验室, 合肥 230088

1 实验原理

1.1 金刚石中的 NV 色心

NV (Nitrogen-Vacancy) 色心是金刚石中的一种点缺陷, 如图 1 所示。金刚石晶格中一个碳原子缺失形成空位, 近邻的位置有一个氮原子, 这样就形成一个 NV 色心, 空位与氮原子的连线作为 NV 色心的方向。NV 色心由于用空位和氮原子替换了两个相邻的碳原子, 从而导致相对于金刚石晶格有四种可能取向。

NV 色心, 指的是带负电荷 NV⁻顺磁中心。NV 色心的有六个电子, 两个来自氮原子, 三个来自与空位相邻的碳原子, 另外一个是一个俘获的 (来自施主杂质的) 电子。

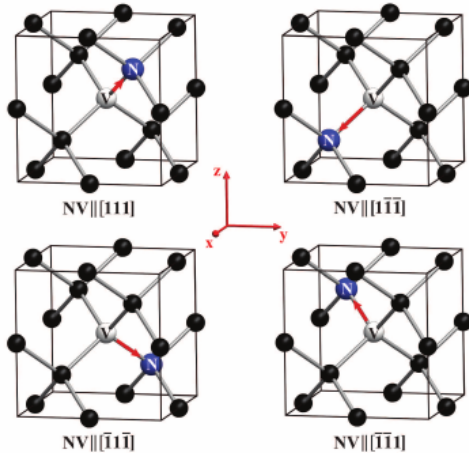


图 1: NV 色心主轴的四种可能方向, 这些方向组成一个四面体

1.2 自旋态初始化和读出

NV 色心的基态为自旋三重态, 三重态基态与激发态间跃迁相应的零声子线为 637nm, 红色区域为声子边带。基态的自旋三重态 ($|m_s = 0\rangle$, $|m_s = 1\rangle$, $|m_s = -1\rangle$) 中, $|m_s = \pm 1\rangle$ 在无磁场时是简并的, 它们与 $|m_s = 0\rangle$ 态之间的能隙 (零场

劈裂) 对应微波频率为 2.87GHz。激发态的能级自旋分裂对应的微波频率为 1.4GHz。

由于 $|m_s = \pm 1\rangle$ 态有更大的概率通过单重态回到基态, 并且不发出荧光。所以 $|m_s = 0\rangle$ 态的荧光比 $|m_s = \pm 1\rangle$ 态的荧光强度大, 实验上得出大约 20 - 40%。根据 $|m_s = 0\rangle$ 态和 $|m_s = \pm 1\rangle$ 对应荧光强度的差别, 就可以区分 NV 色心的自旋态, 即实现对自旋量子比特状态的读出。

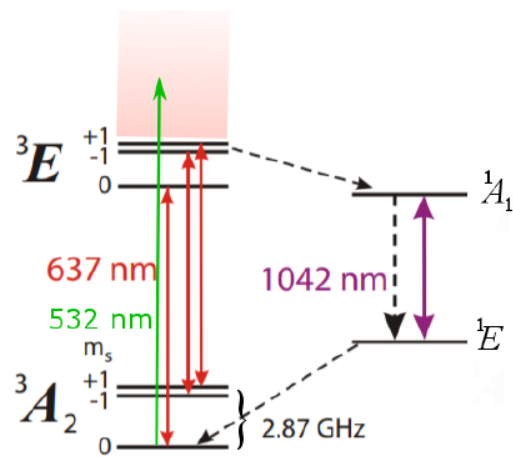


图 2: 室温下金刚石 NV 色心的能级结构示意图。会辐射出光子的跃迁用实线箭头表示, 非辐射跃迁用虚线箭头表示

1.3 NV 色心与磁场的耦合

当 NV 色心处于磁场环境中, 塞曼相互作用会使得 NV 基态能级随磁场变化发生劈裂或者移动。对于 NV 色心的基态能级而言, 我们把 z 方向定义为 NV 色心的轴向, 其哈密顿量可以写成以下形式:

$$H = DS_z^2 + \gamma \cdot \vec{B} \cdot \vec{S} \quad (1)$$

其中 D 是 $|m_z = 0\rangle$ 和 $|m_z = \pm 1\rangle$ 态之间的在没有外磁场时的能隙 (零场劈裂) 对应微波频率为 2.87GHz。 γ 为 NV 色心电子自旋的旋磁比, $\gamma = 2.8032 \text{ MHz/Gs}$ 。

假设当我们施加的外界磁场方向与 NV 色心的

轴向一致时, 即 $\vec{B} = (0, 0, B_z)$, 那么哈密顿量 H 的矩阵形式为:

$$\begin{bmatrix} D + \gamma B_z & 0 & 0 \\ 0 & 0 & 0 \\ 0 & 0 & D + \gamma B_z \end{bmatrix} \quad (2)$$

系统的本征态为 $|m_z = 0\rangle$ 和 $|m_z = \pm 1\rangle$, 并且 $|m_z = 0\rangle$ 向 $|m_z = \pm 1\rangle$ 跃迁的共振频率为:

$$\nu_{\pm} = D \pm \gamma B_z \quad (3)$$

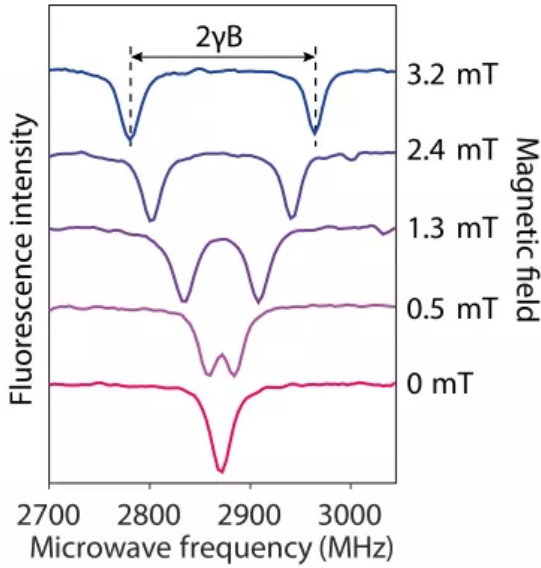


图 3: 不同磁场下的连续波谱

上面讨论的是外磁场与 NV 色心轴向一致的情况, 当外磁场不沿 NV 轴的时候, 此时 $\vec{B} = (B_x, B_y, B_z)$, 那么哈密顿量 H 的矩阵形式为:

$$\begin{bmatrix} D + \gamma B_z & \frac{B_x \gamma}{\sqrt{2}} - \frac{i B_y \gamma}{\sqrt{2}} & 0 \\ \frac{B_x \gamma}{\sqrt{2}} + \frac{i B_y \gamma}{\sqrt{2}} & 0 & \frac{B_x \gamma}{\sqrt{2}} - \frac{i B_y \gamma}{\sqrt{2}} \\ 0 & \frac{B_x \gamma}{\sqrt{2}} + \frac{i B_y \gamma}{\sqrt{2}} & D + \gamma B_z \end{bmatrix} \quad (4)$$

在我们的实验中, 外场始终处在较小的量级 ($< 200\text{MHz}$), 可以将不沿轴向的磁场部分考虑为微扰, 此时哈密顿量给出的本征能量分别为:

$$D + \gamma B_z + \frac{\gamma^2 (B_x^2 + B_y^2)}{2D} \quad (5)$$

$$D - \gamma B_z + \frac{\gamma^2 (B_x^2 + B_y^2)}{2D} \quad (6)$$

$$-\frac{\gamma^2 (B_x^2 + B_y^2)}{2D} \quad (7)$$

从中可以看出, 不沿 NV 轴的横向场与能级为二阶依赖关系且远小于 D 故在实验中可以忽略横向场对能级产生的影响, 只关注轴向场导致的劈裂。

1.4 系综 NV 色心共振谱与外磁场关系

针对不同轴向的 NV 其谱线位置与外场的近似 (一阶微扰) 关系通过如下公式给出:

$$D + \frac{1}{\sqrt{3}} \gamma (B_x + B_y + B_z) \quad (8)$$

$$D + \frac{1}{\sqrt{3}} \gamma (-B_x - B_y - B_z) \quad (9)$$

$$D + \frac{1}{\sqrt{3}} \gamma (-B_x + B_y + B_z) \quad (10)$$

$$D + \frac{1}{\sqrt{3}} \gamma (B_x - B_y - B_z) \quad (11)$$

$$D + \frac{1}{\sqrt{3}} \gamma (-B_x - B_y + B_z) \quad (12)$$

$$D + \frac{1}{\sqrt{3}} \gamma (B_x + B_y - B_z) \quad (13)$$

$$D + \frac{1}{\sqrt{3}} \gamma (B_x - B_y + B_z) \quad (14)$$

$$D + \frac{1}{\sqrt{3}} \gamma (-B_x + B_y - B_z) \quad (15)$$

1.5 自旋态操控

使用自旋磁共振技术对自旋态进行操控。spin-1/2 的电子在外磁场中的哈密顿量为

$$\hat{H} = -\vec{\mu} \cdot \vec{B}_0 \quad (16)$$

而磁矩与自旋算符的关系为

$$\vec{\mu} = \gamma \vec{S} = \gamma \frac{\hbar}{2} \vec{\sigma} \quad (17)$$

取磁场为 z 轴方向, 则

$$\hat{H} = -\frac{\hbar}{2} \begin{pmatrix} \gamma B_0 & 0 \\ 0 & -\gamma B_0 \end{pmatrix} := -\frac{\hbar}{2} \begin{pmatrix} \omega_0 & 0 \\ 0 & -\omega_0 \end{pmatrix} \quad (18)$$

记自旋初态为 $\psi_0 = a_0|0\rangle + b_0|1\rangle$ 其随时间的演化为

$$i\hbar \begin{pmatrix} \dot{a} \\ \dot{b} \end{pmatrix} = -\frac{\hbar}{2} \begin{pmatrix} \omega_0 & 0 \\ 0 & -\omega_0 \end{pmatrix} \begin{pmatrix} a \\ b \end{pmatrix} \quad (19)$$

如果设 $|a_0| = \cos(\alpha/2)$, $|b_0| = \sin(\alpha/2)$, 可以得到

$$\langle S_z \rangle = \frac{\hbar}{2} \cos \alpha \quad (20)$$

$$\langle S_x \rangle = \frac{\hbar}{2} \sin \alpha \cos(\omega_0 t + \alpha_0) \quad (21)$$

$$\langle S_y \rangle = -\frac{\hbar}{2} \sin \alpha \sin(\omega_0 t + \alpha_0) \quad (22)$$

这表示自旋随着时间进动, 现在考虑一个圆偏振的磁场

$$\begin{cases} B_x = B_1 \cos \omega t \\ B_y = B_1 \sin \omega t \end{cases} \quad (23)$$

代入薛定谔方程可以得到 $t > 0$ 时刻自旋向上的概率为

$$P_{\uparrow} = \frac{\omega_1^2}{\omega_1^2 + (\omega_0 - \omega)^2} \sin^2 \delta t \quad (24)$$

其中

$$\delta = \sqrt{\omega^2 + (\omega_0 - \omega)^2} \quad (25)$$

通过这一过程我们可以实现自旋的拉比震荡, 当 $\omega_1 t = \pi$ 时, 量子比特由 $|0\rangle$ 完全跃迁至 $|1\rangle$, 实现非门; 当 $\omega_1 t = \pi$ 时, 量子比特调制为 $|0\rangle \rightarrow \frac{|0\rangle + i|1\rangle}{\sqrt{2}}$.

2 实验装置

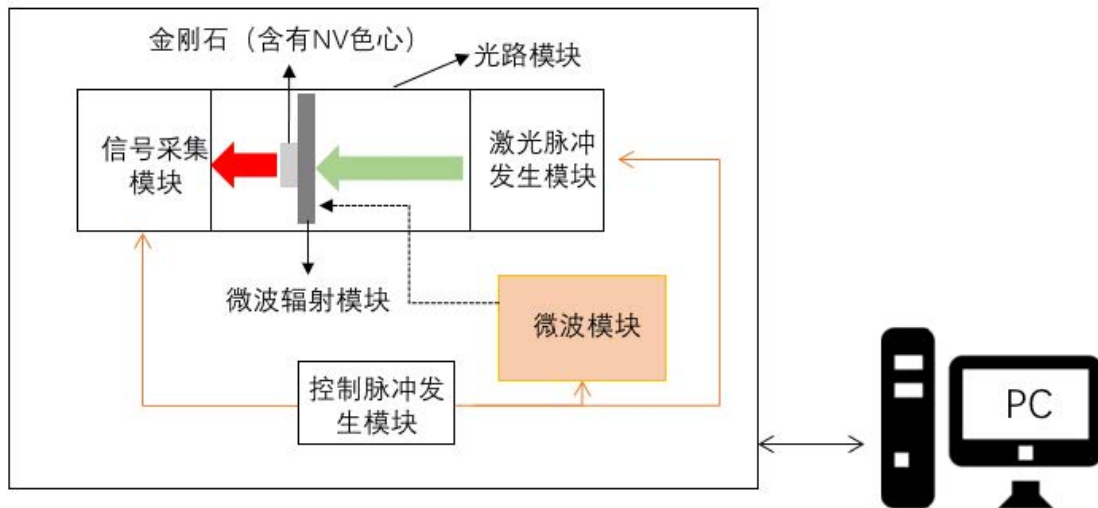


图 4: 实验装置图